

ciało w
potencjale
radialnym

schemat
Eulera

orbity

kontrola
kroku cza-
sowego

Wykład pokazujący, że wybór stałego kroku czasowego nie zawsze jest dobrym pomysłem. Jak napisać program, który będzie sam sobie dobierał krok czasowy na podstawie narzuconej przez nas tolerancji dokładności

orbital komety Halleya

- masa Słońca $M = 1.989 \times 10^{30} \text{ kg}$; Słońce w początku układu odniesienia, nieruchome;
- $G = 6.6741 \times 10^{-11} \text{ m}^3/\text{kg/s}^2$, jednostka astronomiczna 149 597 870 700 m

ciało w
potencjale
radialnym

schemat
Eulera

orbity

kontrola
kroku cza-
sowego

$$\frac{dx}{dt} = v_x \quad (1)$$

$$\frac{dy}{dt} = v_y \quad (2)$$

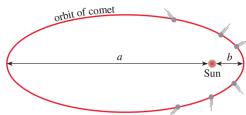
$$\frac{dv_x}{dt} = -G \frac{M}{r^3} x \quad (3)$$

$$\frac{dv_y}{dt} = -G \frac{M}{r^3} y \quad (4)$$

(5)

■ Physics Education 38 (2003) 429

M Follows



a = distance at aphelion
 b = distance at perihelion

height (or distance) at aphelion

Where has this energy gone?

Table 1. Various parameters for comet Halley.

Perihelion distance (AU)	0.587
Aphelion distance (AU)	35.11
Semi-major axis (AU)	17.84
Dimensions (km)	$16 \times 8 \times 8$
Density (kg m^{-3})	100
Mass (kg)	$\sim 1 \times 10^{14}$

Note that AU denotes astronomical units.

1 AU = 1.49×10^{11} m, the distance between the Sun and Earth. I encourage students to calculate this roughly for themselves by telling them that it takes approximately eight minutes for sunlight to reach us.

Jawny Euler dla ciała w potencjale centralnym

ciało w
potencjale
radialnym

schemat
Eulera

orbity

kontrola
kroku cza-
sowego



$$\frac{dx}{dt} = v_x \quad (6)$$

$$\frac{dy}{dt} = v_y \quad (7)$$

$$\frac{dv_x}{dt} = -G \frac{M}{r^3} x \quad (8)$$

$$\frac{dv_y}{dt} = -G \frac{M}{r^3} y \quad (9)$$

$$x_{n+1} = x_n + (v_x)_n \Delta t \quad (10)$$

$$y_{n+1} = y_n + (v_y)_n \Delta t \quad (11)$$

$$(v_x)_{n+1} = (v_x)_n - G \frac{M}{r_n^3} x_n \Delta t \quad (12)$$

$$(v_y)_{n+1} = (v_y)_n - G \frac{M}{r_n^3} y_n \Delta t \quad (13)$$

- parametry orbity Ziemi do startu:
- odległość Ziemi od Słońca w peryhelium: 0.9832917 jedn. at.
- wtedy prędkość Ziemi 30.29 km/s.

Orbita Ziemi

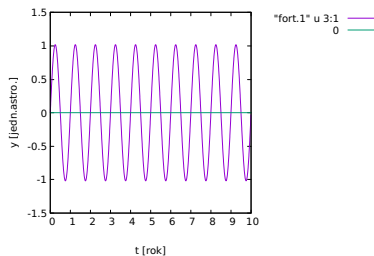
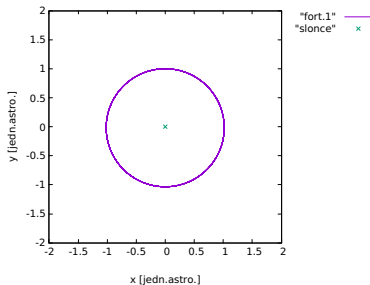
ciało w
potencjale
radialnym

schemat
Eulera

orbity

kontrola
kroku cza-
sowego

■ krok $\Delta t = 15$ minut



Orbita Ziemi

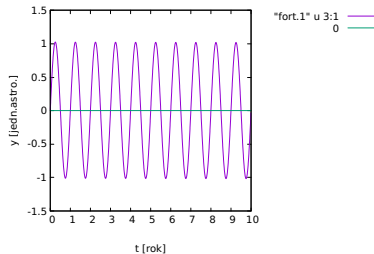
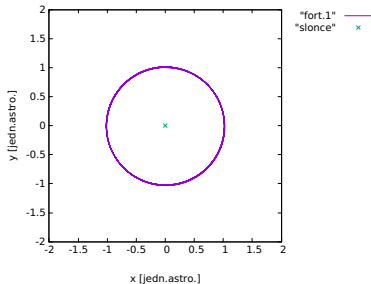
ciało w
potencjale
radialnym

schemat
Eulera

orbity

kontrola
kroku cza-
sowego

■ krok $\Delta t = \text{dzień}$



Orbita Ziemi

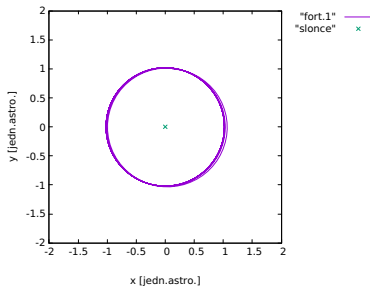
ciało w
potencjale
radialnym

schemat
Eulera

orbity

kontrola
kroku cza-
sowego

■ krok Δt =tydzień

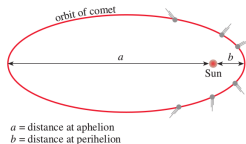


Ogólnie orbita Ziemi nie jest kłopotliwa do policzenia

Kometa Halleya

■ M. Follows, Physics Education 38 (2003) 429

M Follows



height (or distance) at aphelion



Where has this energy gone?

Table 1. Various parameters for comet Halley.

Perihelion distance (AU)	0.587
Aphelion distance (AU)	35.11
Semi-major axis (AU)	17.84
Dimensions (km)	$16 \times 8 \times 8$
Density (kg m^{-3})	100
Mass (kg)	$\sim 1 \times 10^{14}$

Note that AU denotes astronomical units.

1 AU = 1.49×10^{11} m, the distance between the Sun and Earth. I encourage students to calculate this roughly for themselves by telling them that it takes approximately eight minutes for sunlight to reach us.

- preedkość w perihelium: 54.6 km/s, a aphelium około 800 m/s
- czas obiegu około 75 lat

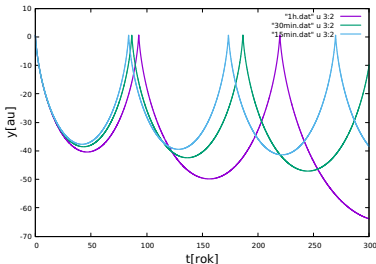
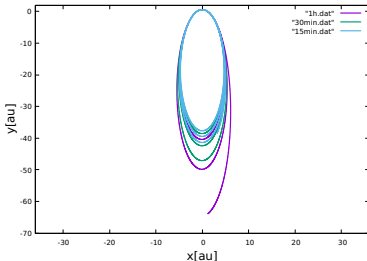
Kometa Halleya

ciało w
potencjale
radialnym

schemat
Eulera

orbity

kontrola
kroku cza-
sowego



- wniosek: nawet 15 minut to zbyt długo na krok czasowy przy obiegu około 80 lat
- problemem jest peryhelium. wielkie siły i wielkie prędkości rozwijane przez kometę w pobliżu Słońca
- można zmienić metodę na bardziej dokładną (my znamy m. trapezów), ale tam również o obliczeniach numerycznych decydować będzie krok potrzebny do aphelium ...

Kontrola błędu w rozwiązywaniu równania różnicowego

ciało w
potencjale
radialnym

schemat
Eulera

orbity

kontrola
kroku cza-
sowego

- $\frac{dx}{dt} = f(t, x)$
- rozwiązanie dokładne $x(t_k)$
- rozwiązanie schematu różnicowego x_k
- $x(t_k) = x_k + O(\Delta t)^{n+1}$, gdzie n – rząd zbieżności metody.
- np. dla Eulera $n = 1$, dla trapezów $n = 2$
- szereg Taylora
- $x(t + \Delta t) = x(t) + f(t, x)\Delta t + \frac{\Delta t^2}{2} f'(t, x) + \dots$,
- ogólnie
- $x(t_k) = x_k + C_t(\Delta t)^{n+1} + O(\Delta t)^{n+2}$
- wyliczyć C_t to poznać wiodącą część błędu
- jak to zrobić?

Kontrola błędu w rozwiązywaniu równania różnicowego

- $\frac{dx}{dt} = f(t, x)$

- rachunek z krokiem Δt

- $x_{k+1} = x_k + W(\Delta t)$, $W(\Delta t)$ - przepis metody

- $x(t_{k+1}) = x_{k+1} + C_t(\Delta t)^{n+1} + O(\Delta t)^{n+2}$

- rachunek z krokiem $\Delta t/2$: 2 kroki aby dojść do chwili $t + \Delta t$

- $x'_{k+1/2} = x_k + W(\Delta t/2)$

- $x'_{k+1} = x'_{k+1/2} + W(\Delta t/2)$

- w każdym kroku $\Delta t/2$ popełniamy błąd $C_t(\Delta t/2)^{n+1}$

- $x(t_{k+1}) = x'_{k+1} + 2C_t \left(\frac{\Delta t}{2} \right)^{n+1} + O(\Delta t)^{n+2}$

- który przepis dokładniejszy (?) (minimalne - Euler - $n = 1$)

- $C_t(\Delta t)^{n+1} - 2C_t(\Delta t/2)^{n+1} = x'_{k+1} - x_{k+1}$

- $C_t(\Delta t)^{n+1} \left(1 - \frac{1}{2^n}\right) = x'_{k+1} - x_{k+1}$

- $x(t_{k+1}) = x'_{k+1} + \frac{x'_{k+1} - x_{k+1}}{2^n - 1} + O(\Delta t)^{n+2}$

- oszacowanie błędu: $\epsilon \equiv \frac{x'_{k+1} - x_{k+1}}{2^n - 1}$

- zabieg szacowania błędu i lepszego rozwiązania przez obserwację zachowania metody zależnie od kroku czasowego: ekstrapolacja Richardsona

Kontrola błędu w rozwiązywaniu równania różnicowego

- zakładamy tolerancję błędu tol

- rachunek z krokiem Δt

- $x_{k+1} = x_k + W(\Delta t)$, $W(\Delta t)$ - przepis metody

- $x(t_{k+1}) = x_{k+1} + C_t(\Delta t)^{n+1} + O(\Delta t)^{n+2}$

- $x'_{k+1/2} = x_k + W(\Delta t/2)$

- $x'_{k+1} = x'_{k+1/2} + W(\Delta t/2)$

- $x(t_{k+1}) = x'_{k+1} + 2C_t \left(\frac{\Delta t}{2}\right)^{n+1} + O(\Delta t)^{n+2}$

- oszacowanie błędu: $\epsilon \equiv \frac{x'_{k+1} - x_{k+1}}{2^{n+1} - 1}$

- jeśli $|\epsilon| \leq \text{tol}$ akceptujemy krok, przyjmujemy wyliczone wartości x'_{k+1} i idziemy dalej
 $t := t + \Delta t$

- niezależnie od wartości ϵ zmieniamy krok czasowy tak, aby błąd popełniany w pojedynczym kroku był bliski tolerancji

- jest $\epsilon = C_t(\Delta t)^{n+1}$

- chcemy $\text{tol} = C_t(\Delta t(\text{nowy}))^{n+1}$

- $\Delta t(\text{nowy}) = \Delta t \left(\frac{\text{tol}}{\epsilon}\right)^{\frac{1}{n+1}}$

- bezpieczniejsz:

- $\Delta t(\text{nowy}) = c \Delta t \left(\frac{\text{tol}}{\epsilon}\right)^{\frac{1}{n+1}}$, np. $c = 0.9$

problem ruchu w potencjale grawitacyjnym

ciało w
potencjale
radialnym

schemat
Eulera

orbity

kontrola
kroku cza-
sowego

$$x_{n+1} = x_n + (v_x)_n \Delta t \quad (14)$$

$$y_{n+1} = y_n + (v_y)_n \Delta t \quad (15)$$

$$(v_x)_{n+1} = (v_x)_n - G \frac{M}{r_n^3} x_n \Delta t \quad (16)$$

$$(v_y)_{n+1} = (v_y)_n - G \frac{M}{r_n^3} y_n \Delta t \quad (17)$$

- rachunek prowadzony z dwoma krokami czasowymi

- błędy szacowane dla położenia x/y

$$\epsilon \equiv \frac{x'_{k+1} - x_{k+1}}{2^n - 1}, \text{ maksymalny błąd}$$

porównywany z tolerancją

- krok akceptowany gdy błąd mniejszy od tol

- zmiana kroku czasowego

$$\Delta t(\text{nowy}) = 0.9 \Delta t \left(\frac{\text{tol}}{\epsilon} \right)^{\frac{1}{n+1}}$$

- dla Eulera $n = 1$

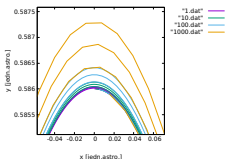
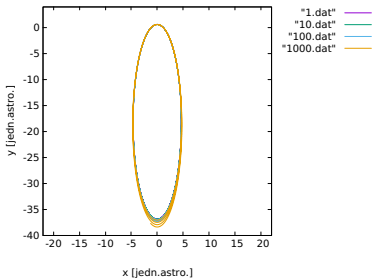
problem ruchu w potencjale grawitacyjnym

ciało w
potencjale
radialnym

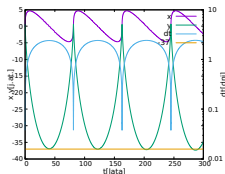
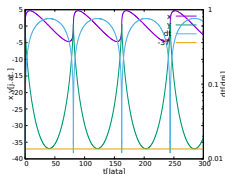
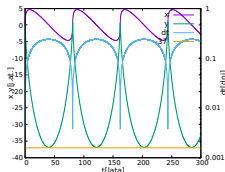
schemat
Eulera

orbity

kontrola
kroku cza-
sowego



- po prawej od góry tol błędu: 1 m, 10 m, 100 m
- przy tolerancji błędu 1m krok czasowy $\Delta t = 5.5$ minuty w peryhelium do 5.5h w aphelium



schemat trapezów dla układu równań

ciało w
potencjale
radialnym

schemat
Eulera

orbity

kontrola
kroku cza-
sowego

$$\blacksquare x_{n+1} = x_n + \frac{\Delta t}{2} (v_{n+1} + v_n)$$

$$\blacksquare v_{n+1} = v_n + \frac{\Delta t}{2} \left(-\frac{1}{m} \frac{dV}{dx} \Big|_{x_{n+1}} - \alpha v_{n+1} - \frac{1}{m} \frac{dV}{dx} \Big|_{x_n} - \alpha v_n \right)$$

■ układ równań nieliniowych:

$$\blacksquare F_1(x_{n+1}, v_{n+1}) = x_{n+1} - x_n - \frac{\Delta t}{2} v_{n+1} - \frac{\Delta t}{2} v_n$$

$$\blacksquare F_2(x_{n+1}, v_{n+1}) = v_{n+1} - v_n - \frac{\Delta t}{2} \left(-\frac{1}{m} \frac{dV}{dx} \Big|_{x_{n+1}} - \alpha v_{n+1} \right) - \frac{\Delta t}{2} \left(-\frac{1}{m} \frac{dV}{dx} \Big|_{x_n} - \alpha v_n \right)$$

■

$$\begin{pmatrix} \frac{\partial F_1}{\partial x_{n+1}} & \frac{\partial F_1}{\partial v_{n+1}} \\ \frac{\partial F_2}{\partial x_{n+1}} & \frac{\partial F_2}{\partial v_{n+1}} \end{pmatrix} \Big|_{x_{n+1}^\mu, v_{n+1}^\mu} \begin{pmatrix} x_{n+1}^{\mu+1} - x_{n+1}^\mu \\ v_{n+1}^{\mu+1} - v_{n+1}^\mu \end{pmatrix} = - \begin{pmatrix} F_1(x_{n+1}^\mu, v_{n+1}^\mu) \\ F_2(x_{n+1}^\mu, v_{n+1}^\mu) \end{pmatrix} \quad (18)$$

$$\begin{pmatrix} 1 & -\frac{\Delta t}{2} \\ \frac{\Delta t}{2m} \frac{d^2 V}{dx^2} \Big|_{x_{n+1}^\mu} & 1 + \frac{\Delta t}{2} \alpha \end{pmatrix} \Big|_{x_{n+1}^\mu, v_{n+1}^\mu} \begin{pmatrix} x_{n+1}^{\mu+1} - x_{n+1}^\mu \\ v_{n+1}^{\mu+1} - v_{n+1}^\mu \end{pmatrix} = - \begin{pmatrix} F_1(x_{n+1}^\mu, v_{n+1}^\mu) \\ F_2(x_{n+1}^\mu, v_{n+1}^\mu) \end{pmatrix} \quad (19)$$

schemat trapezów dla komety

ciało w
potencjale
radialnym

schemat
Eulera

orbity

kontrola
kroku cza-
sowego

$$\blacksquare x_{n+1} = x_n + \frac{\Delta t}{2} ((v_x)_{n+1} + (v_x)_n)$$

$$\blacksquare (v_x)_{n+1} = (v_x)_n + \frac{\Delta t}{2} ((a_x)_{n+1} + (a_x)_n)$$

$$\blacksquare y_{n+1} = y_n + \frac{\Delta t}{2} ((v_y)_{n+1} + (v_y)_n)$$

$$\blacksquare (v_y)_{n+1} = (v_y)_n + \frac{\Delta t}{2} ((a_y)_{n+1} + (a_y)_n)$$

$$\blacksquare a_x = -\frac{GM}{(x^2+y^2)^{3/2}} x$$

$$\blacksquare a_y = -\frac{GM}{(x^2+y^2)^{3/2}} y$$

■ układ równań nieliniowych:

$$\blacksquare F_1(x_{n+1}, y_{n+1}, (v_x)_{n+1}, (v_y)_{n+1}) = x_{n+1} - x_n - \frac{\Delta t}{2} (v_x)_{n+1} - \frac{\Delta t}{2} (v_x)_n$$

$$\blacksquare F_2(x_{n+1}, y_{n+1}, (v_x)_{n+1}, (v_y)_{n+1}) = y_{n+1} - y_n - \frac{\Delta t}{2} (v_y)_{n+1} - \frac{\Delta t}{2} (v_y)_n$$

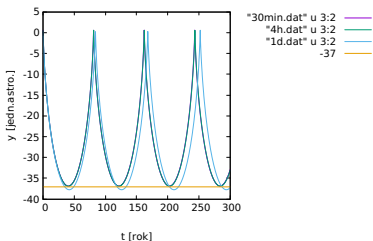
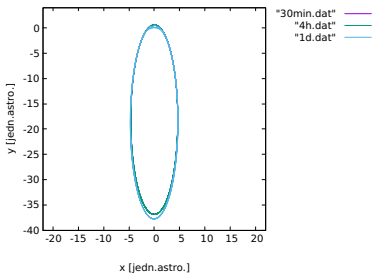
$$\blacksquare F_3(x_{n+1}, y_{n+1}, (v_x)_{n+1}, (v_y)_{n+1}) = (v_x)_{n+1} - (v_x)_n - \frac{\Delta t}{2} (a_x)_{n+1} - \frac{\Delta t}{2} (a_x)_n$$

$$\blacksquare F_4(x_{n+1}, y_{n+1}, (v_x)_{n+1}, (v_y)_{n+1}) = (v_y)_{n+1} - (v_y)_n - \frac{\Delta t}{2} (a_y)_{n+1} - \frac{\Delta t}{2} (a_y)_n$$

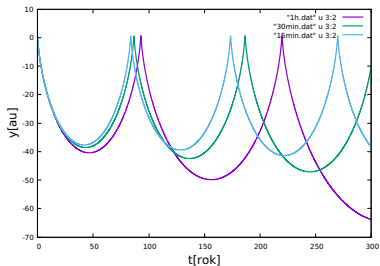
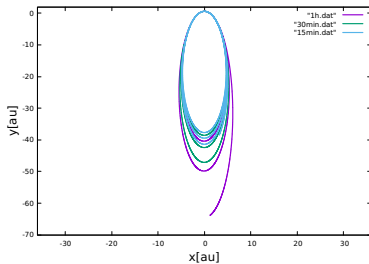
$$\begin{pmatrix} \frac{\partial F_1}{\partial x_{n+1}} & \frac{\partial F_1}{\partial y_{n+1}} & \frac{\partial F_1}{\partial (v_x)_{n+1}} & \frac{\partial F_1}{\partial (v_y)_{n+1}} \\ \frac{\partial F_2}{\partial x_{n+1}} & \frac{\partial F_2}{\partial y_{n+1}} & \frac{\partial F_2}{\partial (v_x)_{n+1}} & \frac{\partial F_2}{\partial (v_y)_{n+1}} \\ \frac{\partial F_3}{\partial x_{n+1}} & \frac{\partial F_3}{\partial y_{n+1}} & \frac{\partial F_3}{\partial (v_x)_{n+1}} & \frac{\partial F_3}{\partial (v_y)_{n+1}} \\ \frac{\partial F_4}{\partial x_{n+1}} & \frac{\partial F_4}{\partial y_{n+1}} & \frac{\partial F_4}{\partial (v_x)_{n+1}} & \frac{\partial F_4}{\partial (v_y)_{n+1}} \end{pmatrix}_\mu \begin{pmatrix} x_{n+1}^{\mu+1} - x_{n+1}^\mu \\ y_{n+1}^{\mu+1} - y_{n+1}^\mu \\ (v_x)_{n+1}^{\mu+1} - (v_x)_{n+1}^\mu \\ (v_y)_{n+1}^{\mu+1} - (v_y)_{n+1}^\mu \end{pmatrix} = - \begin{pmatrix} F_1 \\ F_2 \\ F_3 \\ F_4 \end{pmatrix}_\mu \quad (20)$$

wyniki metody trapezów ze stałym dt

metoda trapezów



metoda Eulera



wyniki metody trapezów z doбором kroku czasowego

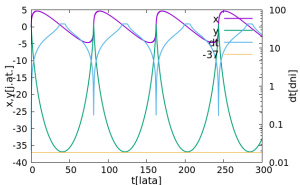
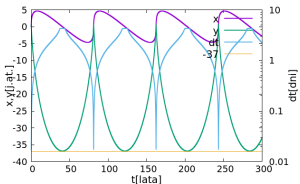
ciało w
potencjale
radialnym

schemat
Eulera

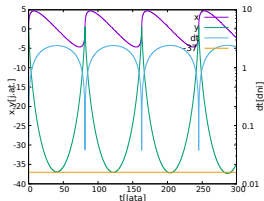
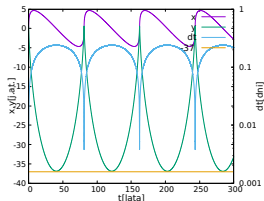
orbity

kontrola
kroku cza-
sowego

■ metoda trapezów od góry tol 1m, 1000m



■ metoda Eulera od góry 1m, 100m



- przy tej samej tolerancji (1m) schemat trapezów stawia znacznie dłuższe kroki (≈ 10)
- rachunek wzoru trapezów przy tej samej tolerancji jest jakościowo lepszy
- w Eulerach - błędy się akumulują (ten sam znak błędu w każdym kroku).

- metoda trapezów: niejawną drugiego rzędu dokładności
- metody Rungego Kuty (początek XXw): metody jawne wysokiej dokładności
- $\frac{du}{dt} = f$

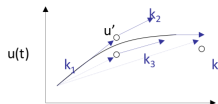
klasyczna formuła RK4: $u_n = u_{n-1} + \frac{\Delta t}{6} (k_1 + 2k_2 + 2k_3 + k_4)$

$$k_1 = f(t_{n-1}, u_{n-1})$$

$$k_2 = f\left(t_{n-1} + \frac{\Delta t}{2}, u_{n-1} + \frac{\Delta t k_1}{2}\right)$$

$$k_3 = f\left(t_{n-1} + \frac{\Delta t}{2}, u_{n-1} + \frac{\Delta t k_2}{2}\right)$$

$$k_4 = f(t_{n-1} + \Delta t, u_{n-1} + \Delta t k_3)$$



4 wywołania f na krok,
błąd lokalny $O(\Delta t^5)$



RK4 dla autonomicznego układu równań

$$\blacksquare \frac{du}{dt} = f(u), u = (u^1, u^2, u^3, u^4)^T, f = (f^1, f^2, f^3, f^4)^T$$

$$\begin{array}{llll} \frac{dx}{dt} = v_x(t) & \frac{dy}{dt} = v_y(t) & (22) & u^1 \equiv x \quad u^2 \equiv y \quad (23) \quad f^1 \equiv v_x \quad f^2 \equiv v_y \quad (24) \\ \frac{dv_x}{dt} = -G \frac{M}{r^3} x = a_x & \frac{dv_y}{dt} = -G \frac{M}{r^3} y = a_y & & u^3 \equiv v_x \quad u^4 \equiv v_y \quad f^3 \equiv a_x \quad f^4 \equiv a_y \end{array}$$

$$k_{1,1} = v_x(t), k_{1,2} = v_y(t), k_{1,3} = a_x[x(t), y(t)], k_{1,4} = a_y[x(t), y(t)]$$

$$k_{2,1} = v_x(t) + \frac{\Delta t}{2} k_{1,3}, k_{2,2} = v_y(t) + \frac{\Delta t}{2} k_{1,4}$$

$$k_{2,3} = a_x \left(x(t) + \frac{\Delta t}{2} k_{1,1}, y(t) + \frac{\Delta t}{2} k_{1,2} \right)$$

$$k_{2,4} = a_y \left(x(t) + \frac{\Delta t}{2} k_{1,1}, y(t) + \frac{\Delta t}{2} k_{1,2} \right).$$

$$k_{3,1} = v_x(t) + \frac{\Delta t}{2} k_{2,3}, k_{3,2} = v_y(t) + \frac{\Delta t}{2} k_{2,4}$$

$$k_{3,3} = a_x \left(x(t) + \frac{\Delta t}{2} k_{2,1}, y(t) + \frac{\Delta t}{2} k_{2,2} \right)$$

$$k_{3,4} = a_y \left(x(t) + \frac{\Delta t}{2} k_{2,1}, y(t) + \frac{\Delta t}{2} k_{2,2} \right).$$

$$k_{4,1} = v_x(t) + \Delta t k_{3,3}, k_{4,2} = v_y(t) + \Delta t k_{3,4}$$

$$k_{4,3} = a_x \left(x(t) + \Delta t k_{3,1}, y(t) + \Delta t k_{3,2} \right), k_{4,4} = a_y \left(x(t) + \Delta t k_{3,1}, y(t) + \Delta t k_{3,2} \right)$$

$$x(t + \Delta t) = x(t) + \frac{\Delta t}{6} \left(k_{1,1} + 2k_{2,1} + 2k_{3,1} + k_{4,1} \right)$$

$$v_x(t + \Delta t) = v_x(t) + \frac{\Delta t}{6} \left(k_{1,3} + 2k_{2,3} + 2k_{3,3} + k_{4,3} \right)$$

```
subroutine wykonajkrok(dt,dx,vox,voy,xo,yo)
implicit double precision(a-h,o-z)
dimension xk(4,4),uk(4,4),u(4)
```

```
uk(1,1)=xo
uk(1,2)=yo
uk(1,3)=vox
uk(1,4)=voy
```

```
xk(1,1)=uk(1,3)
xk(1,2)=uk(1,4)
xk(1,3)=ax(uk(1,1),uk(1,2))
xk(1,4)=ay(uk(1,1),uk(1,2))
```

```
xk(2,1)=uk(1,3)+xk(1,3)*dt/2
xk(2,2)=uk(1,4)+xk(1,4)*dt/2
xk(2,3)=ax(uk(1,1)+dt/2*xk(1,1),uk(1,2)+dt/2*xk(1,2))
xk(2,4)=ay(uk(1,1)+dt/2*xk(1,1),uk(1,2)+dt/2*xk(1,2))
```

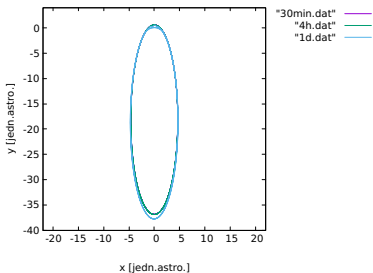
```
xk(3,1)=uk(1,3)+xk(2,3)*dt/2
xk(3,2)=uk(1,4)+xk(2,4)*dt/2
xk(3,3)=ax(uk(1,1)+dt/2*xk(2,1),uk(1,2)+dt/2*xk(2,2))
xk(3,4)=ay(uk(1,1)+dt/2*xk(2,1),uk(1,2)+dt/2*xk(2,2))
```

```
xk(4,1)=uk(1,3)+xk(3,3)*dt
xk(4,2)=uk(1,4)+xk(3,4)*dt
xk(4,3)=ax(uk(1,1)+dt*xk(3,1),uk(1,2)+dt*xk(3,2))
xk(4,4)=ay(uk(1,1)+dt*xk(3,1),uk(1,2)+dt*xk(3,2))
```

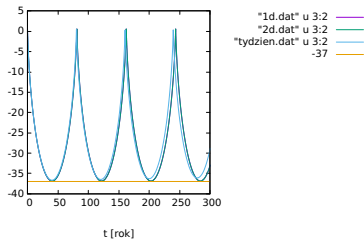
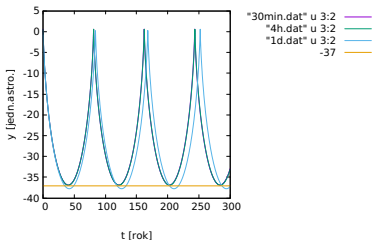
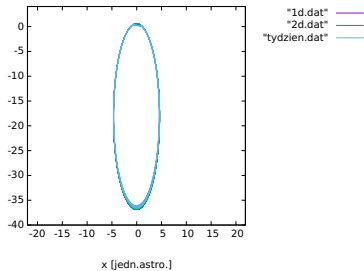
```
do 1 i=1,4
u(i)=uk(1,i)+dt/6*(xk(1,i)+xk(4,i)+2*xk(2,i)+2*xk(3,i))
1 continue
xo=u(1)
yo=u(2)
vox=u(3)
voy=u(4)
end
```

wyniki metody RK4 ze stałym dt

metoda trapezów



metoda RK4



wyniki metody trapezów z doбором kroku czasowego

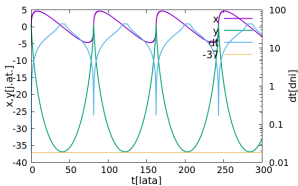
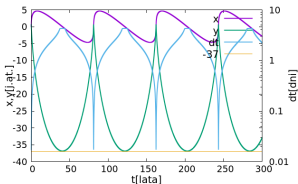
ciało w
potencjale
radialnym

schemat
Eulera

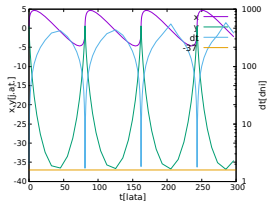
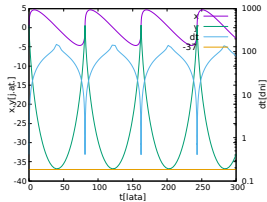
orbity

kontrola
kroku cza-
sowego

metoda trapezów od góry 1m, 1000m



metoda RK4 od góry 1m, 1000m



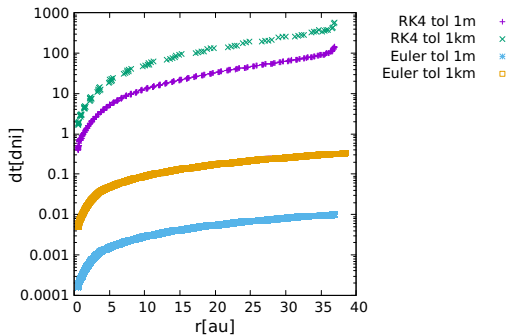
krok czasowy w RK4 i metodzie Eulera

ciało w
potencjale
radialnym

schemat
Eulera

orbity

kontrola
kroku cza-
sowego



- rekomendacja: jeśli problem nie jest *szttywny*, wybierajmy metodę RK4
- jeśli problem wykazuje sztywność - wybierajmy metodę trapezów